А. С. МОЖЕЙКО, ВИТАЛИЙ Э. МАТУЛИС, О. А. ИВАШКЕВИЧ КВАНТОВО-ХИМИЧЕСКОЕ ИССЛЕДОВАНИЕ АДСОРБЦИИ Ag_n (n = 4, 8) НА ПОВЕРХНОСТИ РУТИЛА TiO_2 (110)

Системы на основе диоксида титана и его композитов являются высокоэффективными полупроводниковыми фотокатализаторами. Показано, что системы, представляющие собой осажденные на поверхность TiO₂ наночастицы металлов (Au, Pt, Ag), проявляют более высокие каталитические свойства по сравнению с индивидуальным диоксидом титана [1, 2]. Спектр применения таких наносистем на сегодняшний день достаточно широк. Они являются эффективными катализаторами в процессах восстановления нитратов и NO, а также в реакциях окисления и гидрирования органических веществ [2–8]. В ряде работ показано, что каталитическая активность данных систем зависит OT размера и поверхностной концентрации металлических наночастиц. В частности, для систем Ад_п/ТіО₂ наиболее оптимальный размер частиц составляет до 4 нм, а средняя концентрация 1-2 % [5, 7, 8]. При дальнейшем росте частиц и увеличении их концентрации фотокаталитическая активность уменьшается вследствие возрастания вероятности процессов рекомбинации электроннодырочных пар.

В настоящей работе проведено систематическое исследование четырехвосьмиатомных серебра И кластеров стехиометрической поверхности рутила (110). Следует отметить, что, несмотря на наличие довольно большого количества публикаций, посвященных экспериментальному исследованию процессов адсорбции наночастиц металлов на поверхности диоксида титана, теоретическое исследование систем Ag_n/TiO_2 практически не проводились. имеющиеся работы посвящены лишь адсорбции атомов серебра на поверхности рутила [9, 10].

МЕТОДИКА ПРОВЕДЕНИЯ РАСЧЕТОВ

Исследование адсорбции частиц серебра на поверхности диоксида

проводилось в рамках периодической теории титана функционала использованием градиентно-скорректированного плотности (DFT) функционала РВЕ96 [11] и базиса плоских волн. Все расчеты выполнены с использованием программного пакета Espresso [12]. Для описания ионных остовов использовались ультрамягкие псевдопотенциалы: релятивистские для Ад и Ті, и нерелятивистские для кислорода [13]. При проведении расчетов максимальное значение энергии плоских волн устанавливали равным 272 эВ. Для определения оптимального набора к-векторов были проведены сопоставительные расчеты энергии связи Ад4 с поверхностью TiO_2 для одной структуры Ag_4/TiO_2 в Γ -точке и с набором $2\times2\times1$ k-векторов по Монкхорсту-Паку. В результате оптимизированные с различными *k*-векторов наборами структуры оказались весьма близкими геометрическим параметрам (с разницей в длинах связей менее 0,1 Å), а значения энергий связей отличались на величину 0,1 эВ, что соответствует ошибке расчетов в рамках DFT. Поэтому все дальнейшие расчеты проводились только в Г-точке. При расчетах использовалось приближение, в котором электронная заселенность зон соответствовала гауссовому распределению со значением распространения 3,7·10⁻³ Ry.

При проведении расчетов подложка рутила моделировалась трехслойной структурой, при этом каждый слой состоял из трех атомных подслоев. Нами была выбрана элементарная ячейка поверхности (6×1). Расстояние между соседними пластами составляло 20 Å. Векторы трансляций были направлены вдоль диагоналей ячейки (3×1) и равнялись 11,00 Å каждый. В процессе проведения расчетов, геометрические параметры двух верхних слоев оптимизировались, тогда как нижний слой, геометрические параметры которого соответствовали объемной структуре рутила, оставался неизменным. Такое приближение находится в соответствии с имеющимися экспериментальными данными [14]. Значение энергии рассчитывалось по разности между полной энергией системы Ag_n/TiO₂ (n=4 или 8) и суммой полных энергий подложки и кластера.

РЕЗУЛЬТАТЫ И ИХ ОБСУЖДЕНИЕ

Адсорбция тетрамера серебра. Тетрамер серебра имеет ряд изомеров, однако наиболее стабильной является плоская ромбовидная структура [15]. Для проведения расчетов были выбраны восемь различных положений Ag₄ относительно подложки. Рассмотренные структуры можно разделить на две

группы: структуры, где кластер Ag_4 находится над мостиковыми атомами кислорода; структуры, где Ag_4 располагается в углублениях между мостиковыми атомами кислорода (над пятикоординированными атомами титана $Ti(5\kappa)$ и трехкоординированными атомами кислорода $O(3\kappa)$). Следует отметить, что оптимизация геометрических параметров двух первоначально различных структур привела к одинаковой структуре (рис. 1, δ). Таким образом, после оптимизации было получено семь различных структур (рис. 1). Как видно из таблицы, структуры, в которых адсорбированный кластер находится в углублении, характеризуются наиболее высокими энергиями связи. Исходя из этого, для дальнейшего изучения были выбраны две наиболее стабильные структуры a и δ . Кроме того, для установления различий в механизмах образования связей с подложкой для положения кластера над мостиковыми атомами кислорода и в углублениях, была рассмотрена также структура δ (рис. 1).

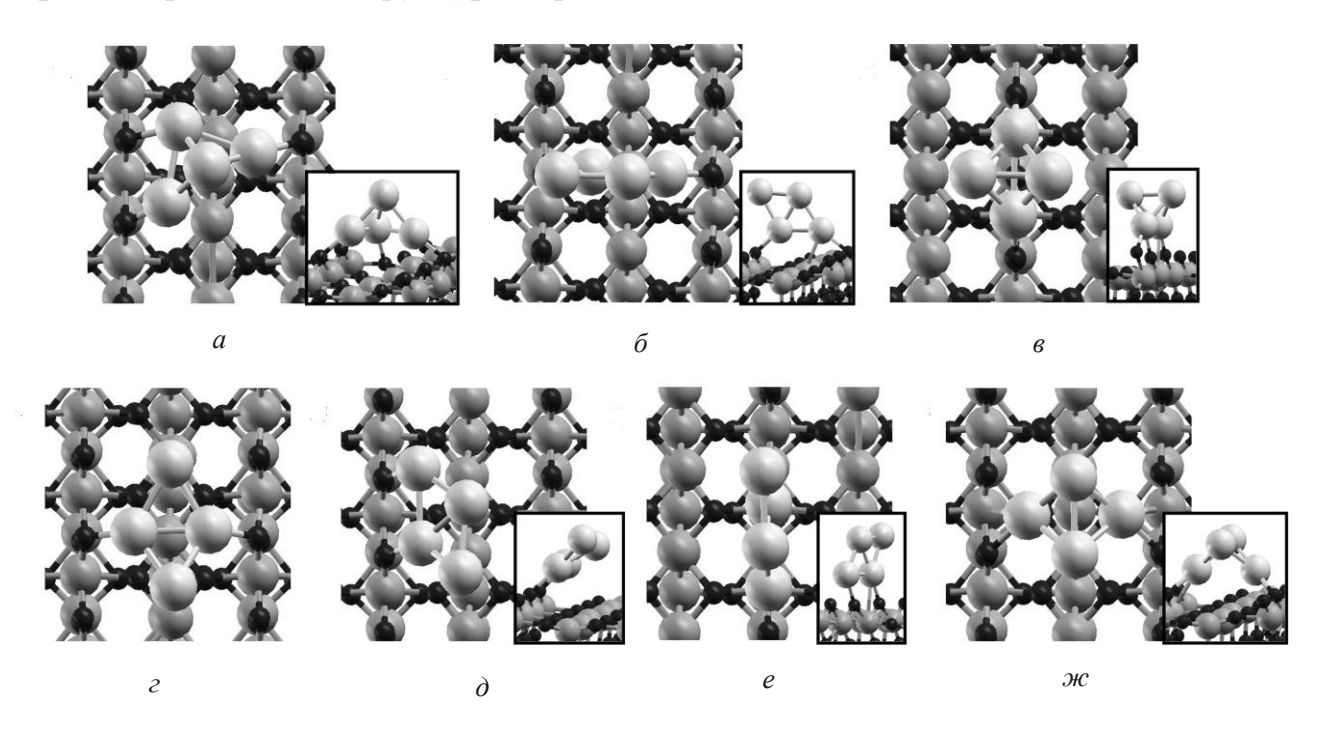


Рис. 1. Оптимизированные структуры адсорбированного тетрамера серебра на стехиометрической поверхности ругила (110). Светлые сферы – атомы Ag, темные – O, серые – Ti

С целью определения механизма связывания тетрамера серебра с подложкой были построены диаграммы плотности состояний (DOS) для

выбранных структур (рис. 2). Проведенные расчеты показали, что зона проводимости ${\rm TiO_2}$ (справа на рис. 2) образована в основном 3d-состояниями атомов титана, а валентная зона — 2p-орбиталями атомов кислорода.

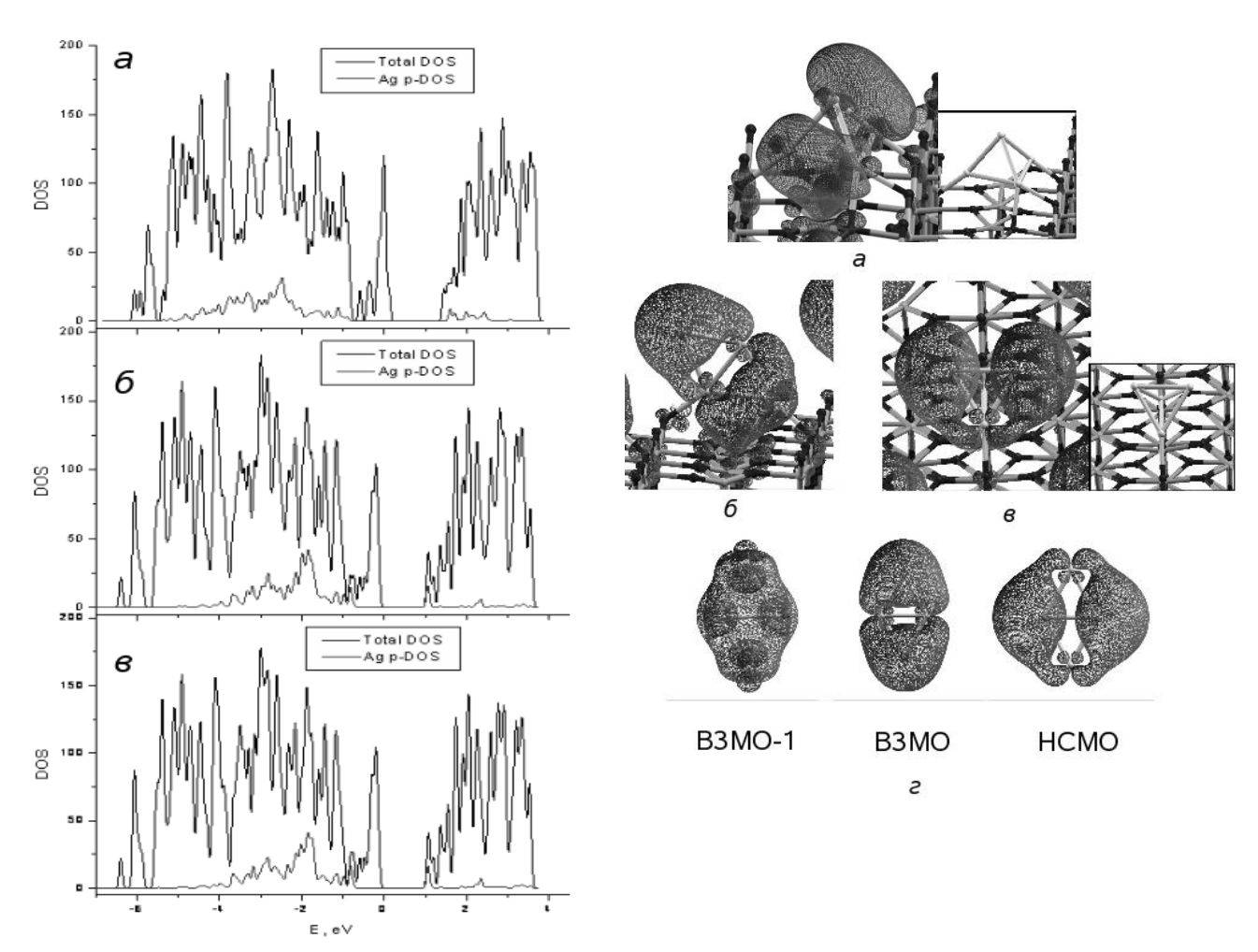
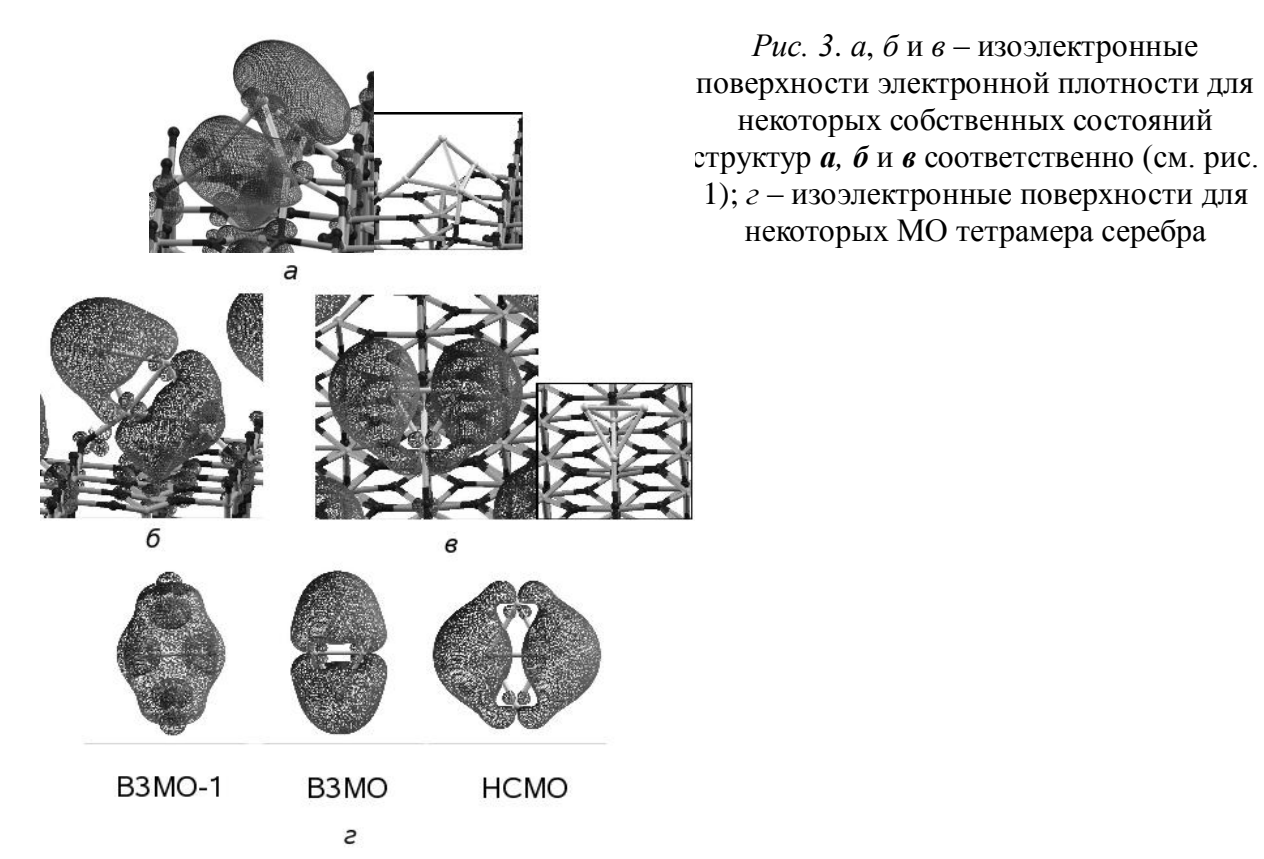


Рис. 2. Общая (верхняя линия) и спроецированная для серебра (нижняя линия) DOS-диаграммы для адсорбционных структур Ag_4/TiO_2 , сверху вниз \boldsymbol{a} , $\boldsymbol{\delta}$, \boldsymbol{s} (см. рис. 1)



Как видно из рис. 2, a, в случае наиболее стабильной структуры a, энергия ряда молекулярных орбиталей (МО) адсорбированного кластера Ад4 находится на уровне зоны проводимости, в то время как энергия некоторых МО – на уровне валентной зоны. На рис. 3 приведены поверхности электронной плотности изоэлектронные собственных состояний системы Ag₄/TiO₂, энергия которых находится на уровне зоны Сравнивая пространственную форму собственного проводимости. состояния для структуры б с формой ВЗМО (высшая занятая молекулярная орбиталь) тетрамера серебра (рис. 3, г), можно заключить, что связь между кластером и подложкой осуществляется в основном за счет перекрывания заполненных МО кластера с вакантными собственными состояниями поверхности, локализованными в основном на атомах Ті(5к). Принимая во внимание результаты расчетов полных зарядов на кластере серебра (таблица), можно предположить, что описанный механизм связывания реализуется также для структуры а. Следует отметить, что в данном случае в результате адсорбции кластер серебра существенно деформируется. Искажение структуры является результатом дополнительного взаимодействия кластера с мостиковыми кислородными атомами. В данном

Puc. 3. а, б и θ – изоэлектронные

некоторых МО тетрамера серебра

случае перекрывание МО кластера с орбиталями кислорода максимально, так как взаимодействие осуществляется сразу с тремя атомами кислорода (рис. 1, a). Наличие этого дополнительного взаимодействия приводит к тому, что структура a характеризуется наибольшим значением энергии связи по сравнению с другими рассмотренными структурами Ag_4/TiO_2 .

Tаблица Энергии связей (E_b) для тетрамеров и октамеров серебра с поверхностью ${
m TiO_2}$ (110) и значения полных зарядов на адсорбированных в различных положениях кластерах

Структура (рис. 1)	1, a		1, б	1, в		1, г	1, д	1, 6	2	1, ж
E_b , эВ	1,97	1,54		1,44		1,45	1,36	1,3	6	1,19
Заряд на Ag_4 , $ e $	+1,48	+0,76		+1,16		+0,53	+0,80	+0,90		+1,27
Структура (рис. 4)	4, a		4, б			4, в	4, г		4, д	
E_b , эВ	1,85		1,63			1,53	1,17		1,10	
3 аряд на A g $_8$, $ e $	+1,57		+1,43			+1,03	+0,78		+0,76	

DOS-диаграмма для второй по устойчивости структуры δ (рис. 2, δ) схожа с таковой для структуры а. Перпендикулярное положение кластера подложки быть объяснено. относительно может как результат взаимодействия мостиковых атомов кислорода с адсорбированным кластером. Однако, в отличие от структуры а, данное взаимодействие выражено в меньшей степени. Молекулярные орбитали кластера серебра в данном случае перекрываются с орбиталями только одного мостикового атома кислорода. Поэтому значение энергии связи меньше, чем для структуры а.

В отличие от структур a и b, в структуре b кластер серебра располагается над мостиковыми атомами кислорода и, следовательно, не взаимодействует с атомом $Ti(5\kappa)$. На DOS-диаграмме (рис. b0, можно видеть наличие собственного состояния на дне зоны проводимости, значительный вклад в которое вносят MO кластера серебра. Анализ волновой функции (рис. b0, b0, этого собственного состояния показывает, что наибольший вклад в данное состояние вносит B3MO тетрамера серебра. Кроме того, имеется небольшой вклад орбиталей атомов титана и кислорода. Орбитали мостиковых атомов кислорода вносят основной вклад

в валентную зону, энергия которой значительно ниже энергии рассматриваемого собственного состояния, поэтому перекрывание между ВЗМО Ag_4 и орбиталями кислорода невелико. Учитывая вышесказанное, а также принимая во внимание отсутствие значительного взаимодействия с атомом $Ti(5\kappa)$, связь между Ag_4 и TiO_2 в положении над мостиковыми атомами кислорода значительно слабее, чем в случаях адсорбции кластера в углублении.

Анализ зарядов по Лёвдину (таблица) подтверждает сделанное ранее заключение о механизме связывания кластера серебра с подложкой. Из данных таблицы видно, что для структур, характеризующихся большей энергией связи, положительный заряд на кластере серебра больше. Как указывалось выше, в образовании связи участвует занятая МО тетрамера серебра и собственные состояния зоны проводимости подложки. При этом происходит перенос электронной плотности с кластера на подложку, и величина положительного заряда на Ад4 коррелирует с величиной перекрывания собственных состояний кластера и подложки. Указанная тенденция наиболее сильно проявляется при адсорбции тетрамера серебра в углублении, где происходит перекрывание ВЗМО кластера с 3*d*-орбиталями Ті(5к). В случае адсорбции над мостиковыми атомами кислорода наличие значительного положительного заряда на кластере является, по-видимому, следствием того, что собственное состояние, в котором вклад ВЗМО тетрамера наиболее значителен, находится над уровнем Ферми, в зоне проводимости. Поэтому электронная плотность переносится с ВЗМО кластера на поверхность, и таким образом, связь носит частично ионный характер.

Адсорбция октамера серебра. В качестве исходной структуры для исследования характера взаимодействия кластера Ag_8 с поверхностью TiO_2 был выбран наиболее устойчивый изомер Ag_8 [16]. Мы провели оптимизацию геометрических параметров шести структур, отвечающих различным расположениям Ag_8 относительно подложки. Оптимизация геометрических параметров двух первоначально различных структур привела к одинаковой структуре (рис.4, ϵ). Таким образом, после оптимизации было получено пять различных структур (рис. 4). Для наиболее устойчивых структур ϵ и ϵ (таблица) были построены DOS-диаграммы (рис. 5) и изоэлектронные поверхности электронной плотности (рис. 6).

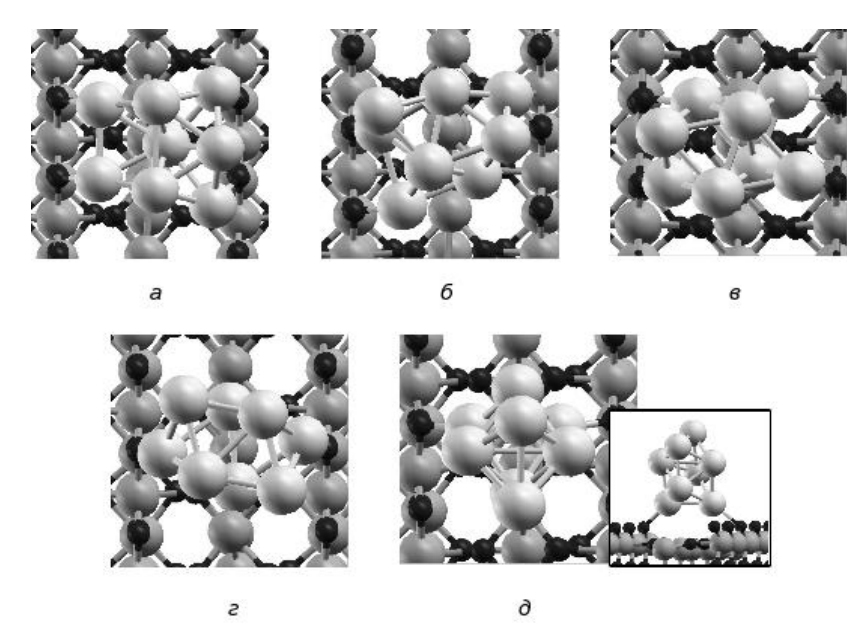
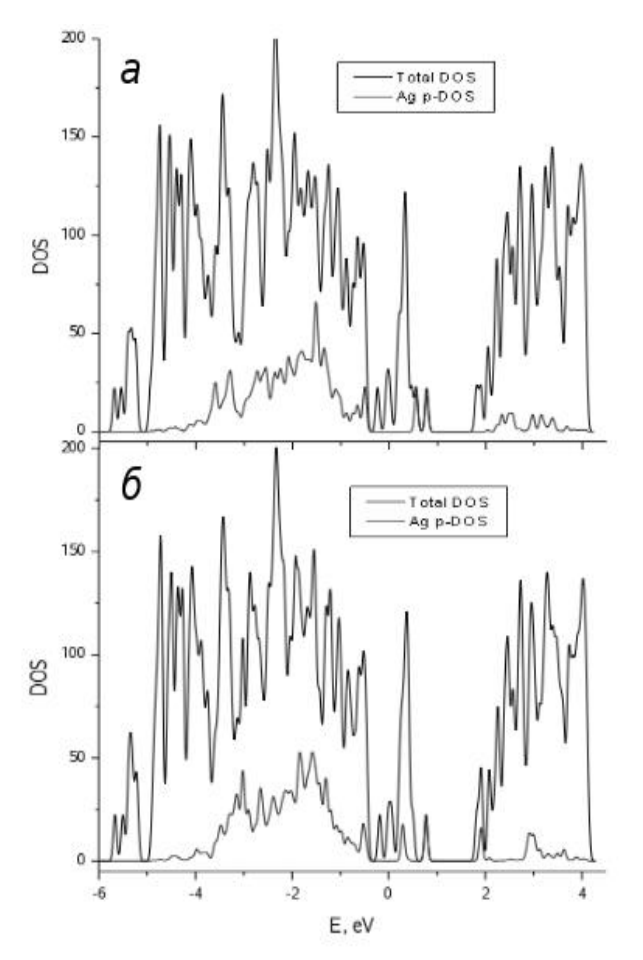


Рис. 4.
Оптимизированные структуры адсорбированного октамера серебра на стехиометрической поверхности рутила (110). Светлые сферы – атомы Ag, темные – O, серые – Ti

Из DOS-диаграмм видно, что собственные состояния, локализованные преимущественно на октамере серебра, находятся не только в валентной зоне и зоне проводимости, как в случае Ад4, но и в запрещенной зоне (рис. 5). Изоэлектронные поверхности распределения электронной плотности строились для собственных состояний систем соответствующих энергиям 0,77 эВ, а также 2,33 эВ для структуры a и 1,91эВ для б, в которых вклад МО серебра достаточно велик. Как видно из рис. 6, основной вклад в собственные состояния, которым соответствует энергия 0,77 эВ, вносит ВЗМО-1 октамера Ада. Тогда как основной вклад в собственные состояния с более высокой энергией (2,33 эВ для а и 1,91 эВ для δ), расположенные на дне зоны проводимости, вносит ВЗМО кластера, как и в случае адсорбции Ад4. Таким образом, появление в запрещенной зоне собственных состояний, локализованных на Адя, и отсутствие таких состояний в случае Ад4 может объясняться тем, что в случае октамера серебра различие в энергиях ВЗМО и ВЗМО-1 меньше, чем в случае тетрамера и, как следствие, ВЗМО-1 Ад4 вносит существенный вклад в собственные состояния валентной, а не запрещенной зоны. Сужение энерге-



Puc. 5. Общая (верхняя линия) и спроецированная для серебра (нижняя линия) DOS-диаграммы для адсорбционных структур Ag_4/TiO_2 , сверху вниз a и δ (см. рис. 4)

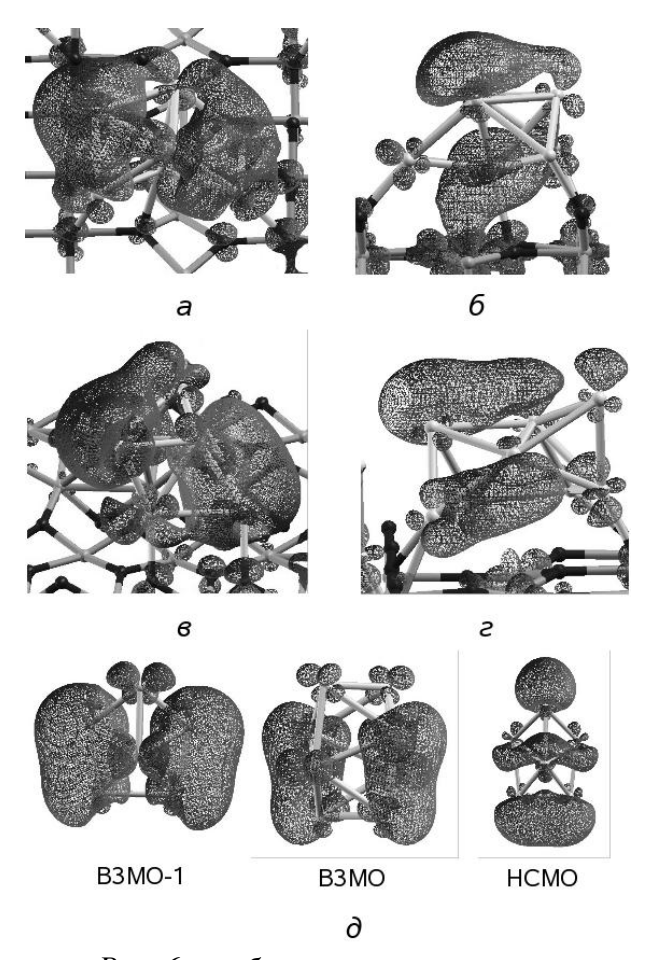
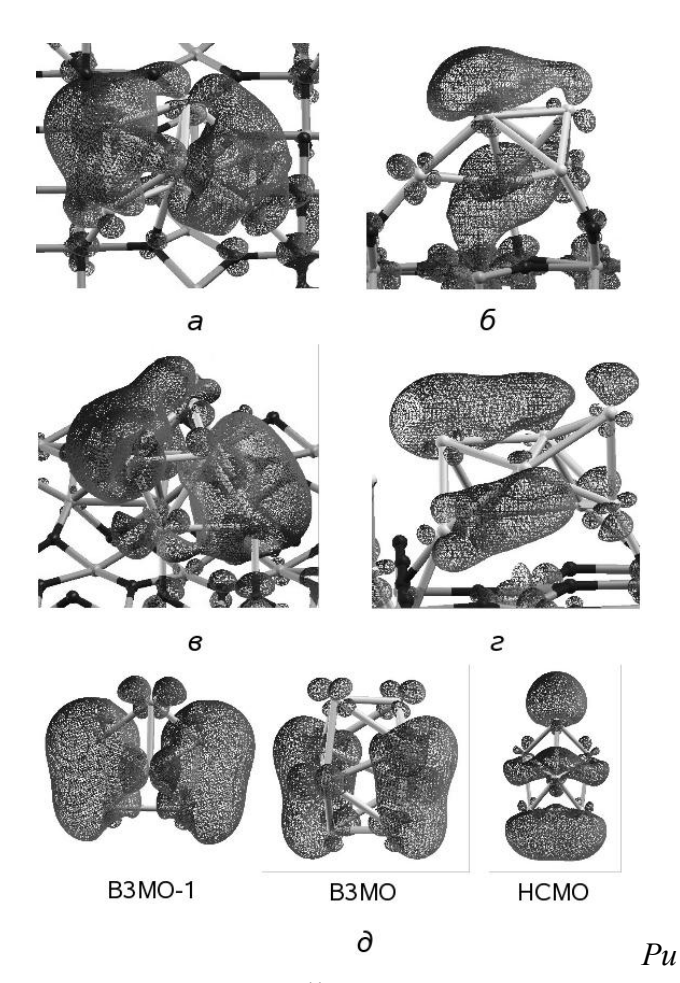


Рис. б. а и б — изоэлектронные поверхности электронной плотности для некоторых собственных состояний структуры a; в и ε — то же самое для структуры δ (см. рис. 4); δ — изоэлектронные поверхности электронной плотности для МО октамера серебра



c.~6.~a и δ — изоэлектронные поверхности электронной плотности для некоторых собственных состояний структуры a; b и b — то же самое для структуры b (см. рис. 4); b — изоэлектронные поверхности электронной плотности для МО октамера серебра

тических уровней при возрастании количества атомов в кластере серебра уже отмечалось нами ранее при сопоставлении расчетных и экспериментальных фотоэлектронных спектров.

Как и в случае адсорбции Ag_4 , повышенная устойчивость структуры a в случае адсорбции октамера объясняется тем, что для этой структуры перекрывание B3MO Ag_8 с 3d-орбиталями $Ti(5\kappa)$ максимально. К тому же, в случае структуры a, кластер Ag_8 связан с наибольшим числом мостиковых атомов кислорода. Следует также отметить, что как и для систем Ag_4/TiO_2 , достижение максимального перекрывания MO кластера с орбиталями $O(2\kappa)$ приводит к деформации структуры кластера при адсорбции. Анализ зарядов по Лёвдину (таблица) показывает, что при адсорбции октамера происходит перенос отрицательного заряда с кластера на подложку. При этом величина положительного заряда на Ag_8 так же, как и для Ag_4 , коррелирует с энергией связи.

ЗАКЛЮЧЕНИЕ

Выполненные расчеты показывают, что наиболее выгодными при адсорбции кластеров серебра на поверхности TiO_2 являются положения в углублении между мостиковыми атомами кислорода. Это объясняется тем, что при адсорбции в углублении происходит перекрывание ВЗМО кластера с d-орбиталями атомов $Ti(5\kappa)$. В случае адсорбции над мостиковыми атомами $O(2\kappa)$ такое взаимодействие невозможно. Кроме того, в энергию связи кластера с подложкой вносит вклад взаимодействие Ag_8 с мостиковыми атомами $O(2\kappa)$. Это взаимодействие является более слабым, однако приводит к искажению геометрической структуры кластера при адсорбции. Показано, что вследствие сужения энергетических уровней с увеличением количества атомов в кластере серебра для систем Ag_n/TiO_2 начинают появляться собственные состояния в запрещенной зоне, локализованные на занятых MO адсорбированного Ag_n .

ЛИТЕРАТУРА

- 1. *Tran H.*, *Scott J.*, *Chiang K.*, *Amal R. J.* // J. Photochem. Photobiol. A: Chem. 2006. Vol. 183. P. 41–46.
- 2. *Shchukin D., Ustinovich E., Sviridov D., Pichat P. //* Photochem. Photobiol. Sci. 2004. Vol. 3. P. 142–147.
 - 3. Zhang F., Jin R., Chen J. et al. // J. Catal. 2005. Vol. 232. P. 424–431.
- 4. Bowering N., Croston D., Harrison P. G., Walker G. S. // Int. J. Photoen. 2007. Vol. 90752. P. 1–8.
- 5. *Grünert W.*, *Bruckner A.*, *Hofmeister H.*, *Claus P.* // J. Phys. Chem. B.- 2004. Vol. 108. P. 5709–5714.
- 6. *Sclafani A.*, *Herrmann J. M.* // J. Photochem. Photobiol., A: Chem. 1998. Vol. 113. P. 181–192.
 - 7. Claus P., Hofmeister H. // J. Phys. Chem. B. 1999. Vol. 103. P. 2766–2769.
 - 8. de Oliveira A. L., Wolf A., Schuth F. // Catal. Lett. 2001. Vol. 73. P. 157.
 - 9. Giordano L., Pacchioni G, Bredow T., Sanz J. F. // Surf. Sci. 2001. Vol. 471. P. 21-31.
 - 10. Pillay D., Wang Y., Hwang G. S. // Catal. Today. 2005. Vol. 105. P. 78-84.
 - 11. Perdew J. P., Burke K., Ernzerhof M. // Phys. Rev. B. 1996. Vol. 54. P. 16533–16539.
 - 12. Baroni S., Dal Corso A., de Gironcoli S. et al. // www.pwscf.org.
 - 13. Vanderbilt D. // Phys. Rev. B. 1990. Vol. 41. P. 7892–7895.
- 14. Charlton G., Howes P. B., Nicklin C. L. et al. // Phys. Rev. Lett. 1997. Vol. 78. P. 495–498.
- 15. *Matulis Vitaly E., Ivashkevich O. A., Gurin V. S. //* J. Mol. Struct. (Theochem). 2003. Vol. 664-665. P. 291–308.
 - 16. Zhao G. F., Lei Y., Zeng Z. // Chem. Phys. 2006. Vol. 327. P. 261–268.